

III-68 動的平面ひずみ三軸圧縮試験による砂のせん断特性

名古屋大学 正会員 市原 松平
 同大学院 学生員 ○松沢 宏 山田 公夫
 日本道路公团 正会員 渡辺 真吾

1. まえがき

既存の平面ひずみ三軸圧縮試験機に供試体の軸方向に振動する荷重を与えるようにした。このようす載荷方式は飽和土に限られるが、今回は気乾の砂に対する行はった試験結果について述べる。ほか、この試験は改造して装置が十分使用できるかを検討することも目的としていために気乾の砂を用いたことを記しておく。

2. 装置

この装置は図1に示すように圧力室と機械式ジャッキの間に油圧ジャッキを挿入して型をとっている。油圧ジャッキ内の油圧は振動圧発生装置により振動するようになっている。振動圧と同時に機械式ジャッキによる変位を供試体に与えると、供試体は振動レフ増加する変位により破壊する。また、機械式ジャッキがより一定の油圧装置を用いると、供試体は常時圧に振動圧を重加して軸力を受ける。今回は前者の載荷方式を採用した。

3. 試料と試験条件

試料に気乾の豊浦標準砂を用い、密な砂、中位の砂、緩い砂の3種について試験を行はった。これら砂の初期剛性比はそれぞれ0.67, 0.75, 0.88程度であった。

軸力の振動数は 1.0cps と 1.4cps 、機械式ジャッキの変位速度は $\dot{\epsilon}_1 = 10\%/\text{分}$ とした。また、軸ひずみの振幅は2段階に変化させた。比較のために、 $\dot{\epsilon}_1 = 1.0\%/\text{分}$ と $\dot{\epsilon}_1 = 10.0\%/\text{分}$ の定ひずみ速度下の圧縮試験を行はったが、両者のひずみ速度効果は認められなかった。以下では便宜上、これらの定ひずみ速度下

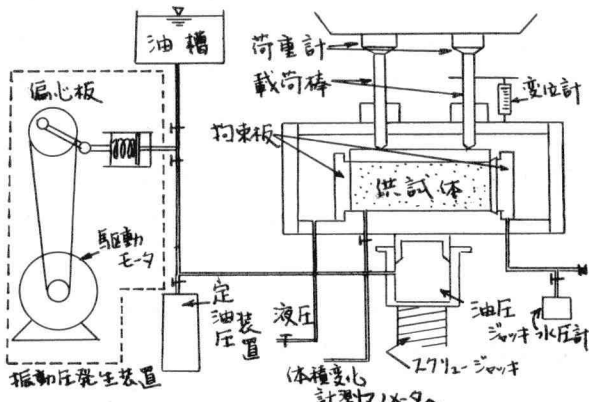


図-1

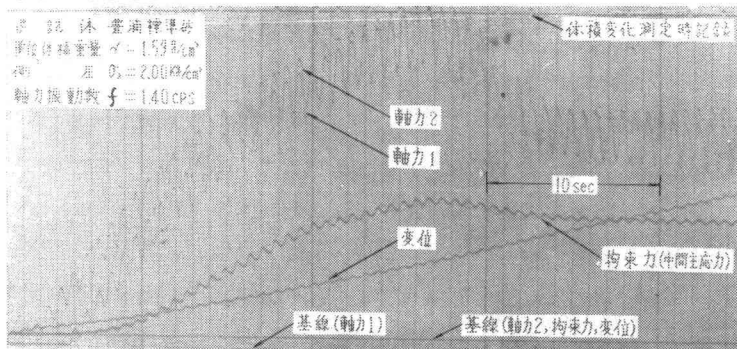


写真-1

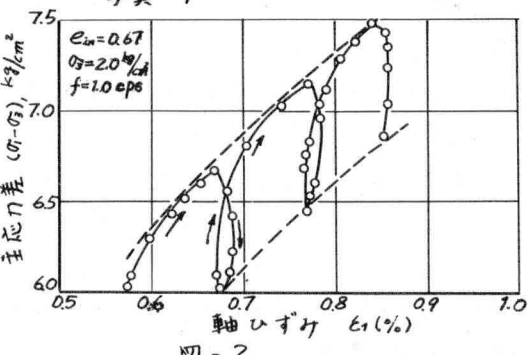


図-2

る試験を一括して静的試験とすることにする。

4. 結果と考察

写真1に記録の一例を示す。これには2つの軸力、拘束力(供試体の中间主応力軸方向の変形を拘束するに要する圧力)、軸方向の変位ひずみに体積変化測定時の記録としている。この記録から、(1)軸力と拘束力は同一位相で振動するが、これらの波形のピークは変位の波形のピークよりも幾分早目にあらわれ、(2)軸力と拘束力は最大値を記録したのちにピーク時の波形にやや乱れが生じることがうかがわれる。

この記録から、各軸ひずみに対する応力を求めて、その一部を $(\sigma_1 - \sigma_3)$ を例に拡大して示したもののが図2である。図が示すように、写真1に示す下の体変位を重ねると、(1) 振動の1サイクルごとに弾性的変形といずみ硬化とともに塑性変形がおこり、(2) 引き続いておこる変位の波形により、明確な履歴ルートを描くことができる。

図3は図2に示した応力の上限値と下限値ひずみに体積ひずみを軸ひずみに對して示している。この図は軸ひずみの増加に伴って $(\sigma_1 - \sigma_3)$, $(\sigma_2 - \sigma_3)$ のそれそれが図に示す両限界線で挟まれる区間を振動しつつ変化することを示している。なお、 $(\sigma_1 - \sigma_3)$, $(\sigma_2 - \sigma_3)$ の上限値を示す曲線は振巾や振動数の大小を問わず静的試験でえられた曲線と合致した。以上のことから、軸ひずみの上限値が最大になるととき破壊するとせばせる。

図4は破壊時における応力の上限値から求めた内部摩擦角とひずみ振巾の関係である。これによると、静的と動的の間に明確な差は認められない。図5は破壊時の軸ひずみ ϵ_{sf} とひずみ振巾の関係である。 ϵ_{sf} はひずみ振巾が大きくなると幾分減少する傾向にある。しかししながら、これについては動的載荷の開始時の判定が難かしいこともあって、この傾向が別個の動的性質によるもののかはいまのところ不明である。図6は破壊時における体積ひずみをひずみ振巾に對して示した図である。 $\sigma_3 = 2.0 \text{ kg/cm}^2$ の場合とのをけば、ひずみ振巾の増加とともに、破壊時の体積ひずみ量は幾分大になる傾向にある。

以上に述べたようすの結果がえられましたが、試験を行って範囲内で動的と静的の強度やせん断特性に明確な差は認められなかつた。この研究は昭和44年度文部省科研費(特定)で行なわれた。

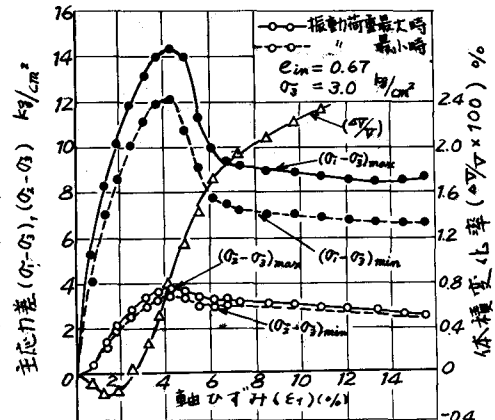


図-3

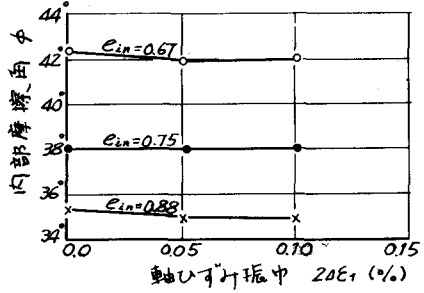


図-4

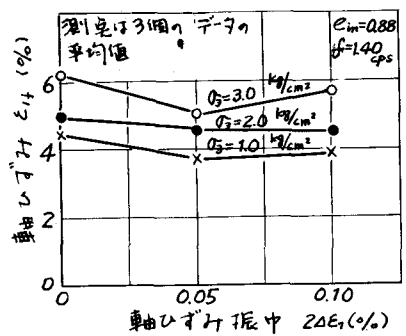


図-5

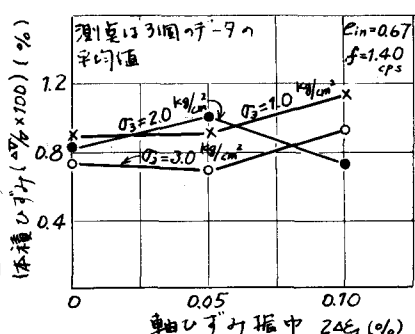


図-6